

مطالعه برهمکنش پروتئین آستروپسین A و پاکلی تاکسول با استفاده از شبیه‌سازی دینامیک (Adoptive Poisson-Boltzman software) بولتزمن-پواسون-معادله

جابر جهان‌بین سردرودی^{۱*}، میترا دباغ حسینی پور^{۲،۱}، مقصوده ایقابی بناب^{۲،۱} و علیرضا راستکار ابراهیم‌زاده^{۳،۱}

^۱ ایران، تبریز، دانشگاه شهید مدنی آذربایجان، دانشکده علوم پایه، آزمایشگاه شبیه‌سازی مولکولی

^۲ ایران، تبریز، دانشگاه شهید مدنی آذربایجان، دانشکده علوم پایه، گروه شیمی

^۳ ایران، تبریز، دانشگاه شهید مدنی آذربایجان، دانشکده علوم پایه، گروه فیزیک

تاریخ دریافت: ۱۳۹۸/۰۳/۰۱ تاریخ پذیرش: ۱۳۹۸/۰۶/۰۴

چکیده

در این مطالعه، برهمکنش مولکول پاکلی تاکسول با پروتئین آستروپسین A در محیط آبی از طریق شبیه‌سازی دینامیک مولکولی و معادله پواسون-بولتزمن مطالعه شده است. انرژی اتصال ما بین پاکلی تاکسول و آستروپسین A به کمک معادله پواسون-بولتزمن در سیستمهای به تعادل رسیده محاسبه شده و با روش دینامیک مولکولی شبیه‌سازی شده است. هدف اصلی در این مطالعه، بررسی سایتهاي فعال برای ایجاد برهمکنش مؤثر بین نانوذرات دارو و پروتئینها و همچنین تشکیل چهارچوبی برای دارو توسط پروتئینها می‌باشد که بدین منظور از یک، دو، سه، چهار و پنج آستروپسین A استفاده شده است. همچنین نتایج شبیه‌سازی دینامیک مولکولی همچون شعاع چرخش، تابع توزیع شعاعی و پیوند هیدروژنی مورد بحث قرار گرفته است. نتایج حاصل از شبیه‌سازی سیستم‌ها در حضور و عدم حضور پاکلی تاکسول مورد مقایسه قرار گرفته است. نتایج بدست آمده نشان می‌دهند با اضافه کردن هر چه بیشتر آستروپسین A به پاکلی تاکسول، حلالیت پاکلی تاکسول در آب افزایش می‌یابد. همچنین مشخص می‌شود اسید‌آمینه‌های گلایسین^۲، لوسین^{۲۱}، فنیل^{۱۴}، سیستئین^۳، پیروگلوتامیک اسید^۱ بیشترین برهمکنش با پاکلی تاکسول در سیستمهای به ترتیب شامل یک، دو، سه، چهار و پنج آستروپسین A دارند. نتایج نشانگر این است که با افزایش تعداد آستروپسین A میزان اتصال پاکلی تاکسول به آستروپسین A، افزایش می‌یابد.

واژه‌های کلیدی: شبیه‌سازی دینامیک مولکولی، پاکلی تاکسول، آستروپسین A، برهمکنش، مکانیک مولکولی با معادله پواسون-بولتزمن.

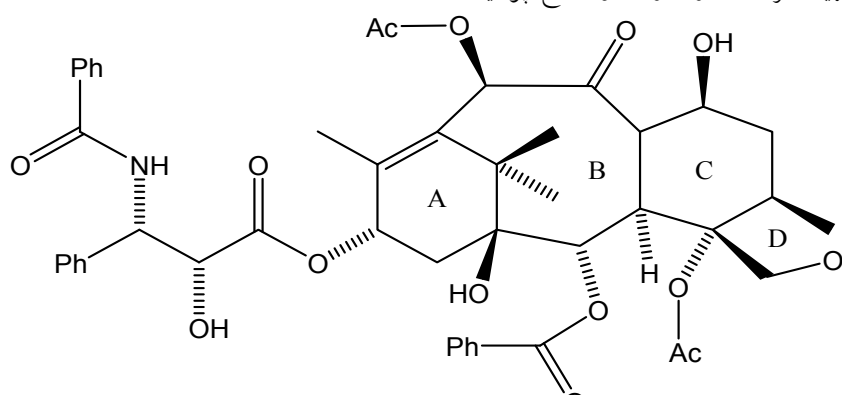
* نویسنده مسئول: تلفن: ۰۴۱-۳۱۴۵۲۰۴۳، پست الکترونیکی: jsardroodi@azaruniv.ac.ir

مقدمه

متوقف کردن میتوуз بعد از G₂ یا چرخه در فاز M، می‌شوند که نشانگر محدوده وسیع فعالیت در چندین تومور از جمله سرطان تخدمان و شش است (۲۰، ۲۸ و ۲۹). پاکلی تاکسول از پوست درخت سرخدار به دست آمد (۱۶). تهیه ترکیبات فعال با این روش می‌تواند برخی مشکلات بهمراه داشته باشد که از جمله آنها می‌توان به: مقدار کم ترکیبات فعال در گیاه، رشد تدریجی گیاه و سرطان یکی از مرسوم‌ترین بیماری‌ها در دنیا بوده و یکی از روش‌های درمان، شیمی درمانی است (۱۰). تاکسان یکی از داروهای شیمی درمانی می‌باشد. حلالیت تاکسان بر اساس رهایش دارویی است (۹). دو مورد از تاکسان، پاکلی تاکسول و دوستاکسول است که از مهمترین روش درمان پیشرفته و مخصوصاً برای درمان سرطان کبد می‌باشد. تاکسانها، سبب پایداری میکروتوبول‌ها به دلیل

آنها، نانوذرات توانایی به سزایی در ترویج شیمی درمانی ایفا می‌کنند: ۱) شیمی درمانی فردی: که بنا به نیاز شخصی بیمار به کار می‌رود. ۲) شیمی درمانی موضعی: رهایش هدفمند داروهای ضد سرطانی ۳) شیمی درمانی پایدار: بدون اینکه دارو به حضور چند داروی دیگر مقاومت نشان دهد ۴) عبور از سد خونی-مغزی: به دلیل اندازه کوچک نانوذرات می‌توانند از سد خونی-مغزی عبور کنند. ۵) شیمی درمانی در جایی که بیمار در آن اقامت دارد: به صورت داروهای قابل مصرف دهانی، بینی و چشمی که توسط خود بیمار قابل استفاده است (۲۸).

تخربیب منابع طبیعی اشاره کرد (۱۵). چندین خواص پژوهشی برای پاکلی‌تاکسول مطالعه و کشف گردید. پاکلی-تاکسول در شیمی درمانی طیف وسیعی از سرطان‌ها از جمله سرطان تخمدان، پستان، شُش، مثانه، پروستات، ملانوم، مری و *Kaposi's sarcoma* به کار می‌رود. کاربرد بالینی اخیر که بمنظور کاهش اثرات جانبی جدی بکار می‌رود، کروموفور ای ال (cremophor EL) است. نانوذرات پلیمرهای زیست تخریب‌پذیر می‌توانند یک راه حل مناسبی برای افزایش حلایلت پاکلی‌تاکسول باشند و رهایش دارویی کنترل شده با کارآیی بیشتر و اثر جانبی کمتر ایجاد کنند. امروزه با بهینه کردن اندازه ذرات و سطح پوشیده



شکل ۱- ساختار شیمیایی پاکلی‌تاکسول

می‌شود (شکل ۱). در مطالعه دیگری که توسط سنپاتی و ناتارجان (۳۲) انجام یافته است، برهمکنش میان تاکسول با دو نوع پروتئین شامل توبولین و حشی و سه نوع توبولین جهش یافته، مورد بررسی قرار گرفته است. نتایج نشان می‌دهد که توبولین جهش یافته انعطاف‌پذیر تر از توبولین وحشی است. جهشها محل اتصال با تاکسول را تغییر داده و سبب ضعیف شدن پیوند می‌شود. گیاناناکاکو و همکارانش (۱۵) و کاوالاریس و همکاران (۸)، برهمکنش اپوتیلون که یک داروی ضد سرطان است، با سلولهای سرطانی مقاوم به دارو را مورد بررسی قرار دادند. نتایج نشانگر این است که مقاومت سلولهای سرطانی به دارو میزان کارایی دارو را کاهش داده و سبب عدم پایداری میکردن توبولین می‌شود. مقاوم بودن سلولهای سرطانی بدليل

به منظور افزایش کارایی دارو، غلظت دارو می‌تواند افزایش داده شود ولی در این مورد، بر سمعیت و اثرات جانبی دیگر نیز افزوده می‌شود. پاکلی‌تاکسول حلایلت کمی در آب دارد (۲۴) بنابراین رهایش دارویی جدید نیازمند بهبود فعالیت دارویی آن می‌باشد، بدین معنی که برای کاهش اثرات جانبی و افزایش حلایلت پاکلی‌تاکسول، نیازمند استفاده از نانوذرات بوده که این امر سبب پیشرفت در رهایش دارویی نوین شده است (۳۷). تاکنون ول夫 و همکارانش (۱۳)، برهمکنش میان ورقه‌های توبولین که حاوی روی القاء شده است، با تاکسول مورد بررسی قرار دادند. مطالعات نشان داده است که در محل اتصال تاکسول، توبولین ساختار پایداری از خود نشان می‌دهد. برهمکنش اصلی میان توبولین با تاکسول در لوپ B8-H9 مشاهده

دیگر پیتیدهای گرهدار مشتق شده از اسفنج دریابی متمایز می‌کند (۲۶).

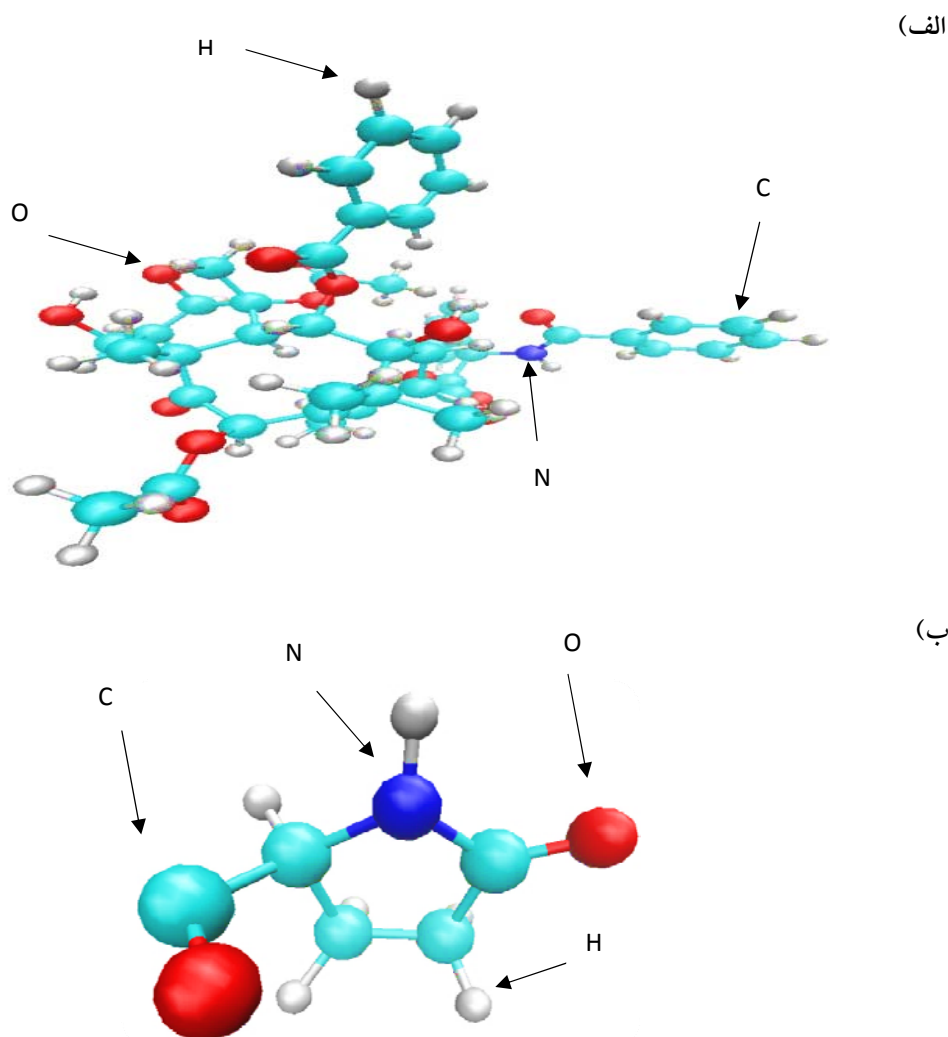
در رهایش دارویی، آزادسازی مولکولهای بیولوژیکی متأثر از تجمع مولکولهای بیولوژیکی می‌باشد. برای درک بهتر مولکولهای بیولوژیکی با مولکولهای آب نیازمند کنترل پدیده تجمع در محیط آبی می‌باشد. در این کار پژوهشی به منظور درک بهتر برهمکنش و تجمع آستروپسین A در محلول آبی پاکلی تاکسول، محلولهای آبی پاکلی تاکسول شبیه‌سازی شد. بدین منظور بهینه‌سازی ساختار الکترونی حالت پایه پاکلی تاکسول و بخشی از آسید آمینه آستروپسین A با استفاده از تئوری چگالی احتمال بدست آمده است. برای طراحی دارو، بررسی برهمکنش‌های این تحقیق بین دارو و نانوذرات پروتئینی از اهمیت به سزاگی برخوردار است. شبیه سازی دینامیک مولکولی یکی از روش‌های محاسباتی است که می‌توان برای طراحی دارو و برهمکنش‌های بین مولکولی از آن استفاده کرد (۳). با توجه به تعدد گروههای عاملی پاکلی تاکسول و ساختار نسبتاً پیچیده آن، به منظور افزایش احتمال برقراری تمام برهمکنش‌های ممکن، بیش از یک عدد پروتئین استفاده کرد (۴). همچنین برای بررسی چگونگی و میزان وابستگی خواص مورد مطالعه به تعداد پروتئینها، برهمکنش پاکلی تاکسول با یک تا پنج پروتئین شبیه سازی شد.

مواد و روشها

مراحل شبیه‌سازی: محاسبات تئوری تابع چگالی (۴) به منظور دستیابی به ساختار بهینه شده مولکول پاکلی تاکسول و زنجیر جانبی آسید آمینه مولکول آستروپسین A به کار برده شد. این محاسبات با استفاده از تابعیت هیبریدی (۶) استفاده از برنامه G09 (۳۰) برای دستیابی به سیستم شبیه‌سازی ساختار الکترونی مولکولی و اتمی به کار گرفته شد. ساختار شبیه‌سازی شده آنها که توسط این محاسبات به دست آمد و به عنوان نقطه آغازین آرایش در شبیه‌سازی

وجود جهش در این سلولها مشاهده شد. به منظور اتصال دارو به سلولها، جهش دیگر در این سلولها باید انجام شود تا سبب پایداری آن شود. وانگ و همکارانش (۷) به بررسی برهمکنش پاکلی تاکسول با β -توبولین پرداختند. در این مطالعه به روش داکینگ انرژی اتصال، الکترواستاتیکی و انرژی پیوند هیدروژنی کمپلکس پاکلی تاکسول-آسیدهای آمینه توبولین و سپس با شبیه‌سازی دینامیک مولکولی پاکلی تاکسول با β -توبولین محاسبه انرژی کمپلکس پاکلی-تاکسول-آسیدهای آمینه توبولین را انجام دادند. همچنین صرفاً به کمک داکینگ، انرژیهای مورد نیاز کمپلکس پاکلی تاکسول-آسیدهای آمینه توبولین را محاسبه کردند. از این نتایج می‌توان به برهمکنش پایدار پاکلی تاکسل با آسیدهای آمینه توبولین دست یافت. پروتئینها با حلالیت بالا می‌توانند به عنوان سیستم رهایش استفاده شوند. آستروپسین A بدلیل داشتن پیتیدهای گرهدار با آرایش مولکولی دی‌سولفید صلب و سه β -sheet fold، یک قالب جدید برای داروهای پیتیدی خوراکی، به دلیل مقاومت پروتولیتیک و شیمیابی نسبتاً قوی آنها، مورد توجه همگان قرار گرفته است. تاکنون آستروپسین A در اسفنج دریابی یافته شده است (۲۵). آستروپسین A تنها یکی از چهار پیتید مشتق شده از اسفنجی است که دارای دو قسمت مساوی از دی‌سولفید می‌باشد. ساختار کریستالی آن، شامل N-ترمینال پیروگلوتامیک آسید، کنفورماتیون سیس-ترانس پرولین و جفت دی‌سولفید می‌باشد. N-ترمینال پیروگلوتامیک آسید برای کنفورماتیون مناسب پیتیدها مهم است. از چهار پیتید، دوتای آن دارای ساختار سیس است. در ساختار آستروپسین A، سه β -sheet غیر موازی پل دی‌سولفید وجود دارد. دو تا از آنها در وسط ساختار و سومین پل دی‌سولفید در نزدیکی همسایه N-ترمینال واقع شده است. آستروپسین A دارای آسید آمینه اسیدی است. فعالیت بیولوژیکی متمایز همراه با ویژگیهای متعدد دیگر مانند توالی کم، تشکیل N-ترمینال پیروگلوتامیک آسید و سیس پرولین، آستروپسین A را از

دینامیک مولکولی مورد استفاده قرار گرفت، در شکل ۲ نشان داده شده است.



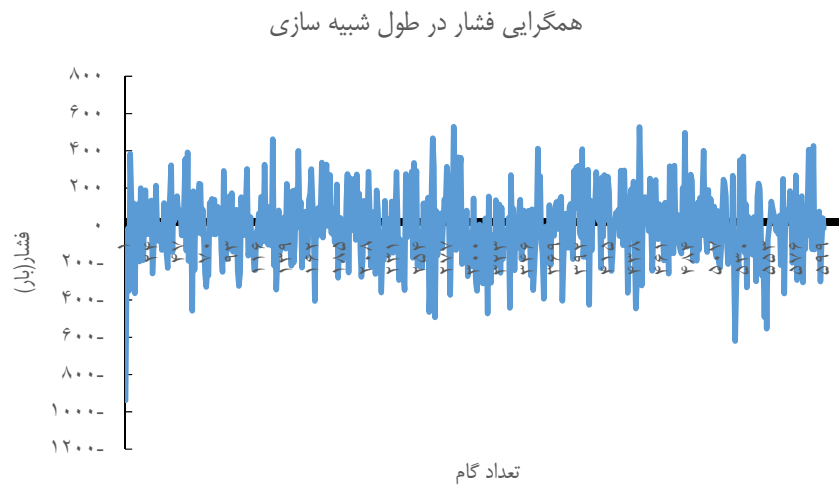
شکل ۲- ساختار بهینه شده (الف) مولکول پاکلی تاکسول ب) زنجبیر جانبی اسید آمینه مولکول آستروپسین A

کلوین و ۱ بار تنظیم گردید. طول پیوند با الگوریتم (۱۴) LINCS به دست آمد. الگوریتم مش اوالد ذرات (۱۱) به منظور برهمکنش طولانی برد به کار گرفته شد. برهمکنش لنارد-جونز با شعاع قطع $1/6$ نانومتر انتخاب گردید. لیست همسایه هر ۵ گام یکبار تنظیم شد. زمان هر گام فیتو ثانیه برای انتگرال‌گیری از معادله حرکت (۵) استفاده گردید. شبیه‌سازی بعد از انجام تعادل و در دما و فشار ثابت، ۵۰ نانوثانیه طول کشید. بعد از انجام شبیه‌سازی به بررسی

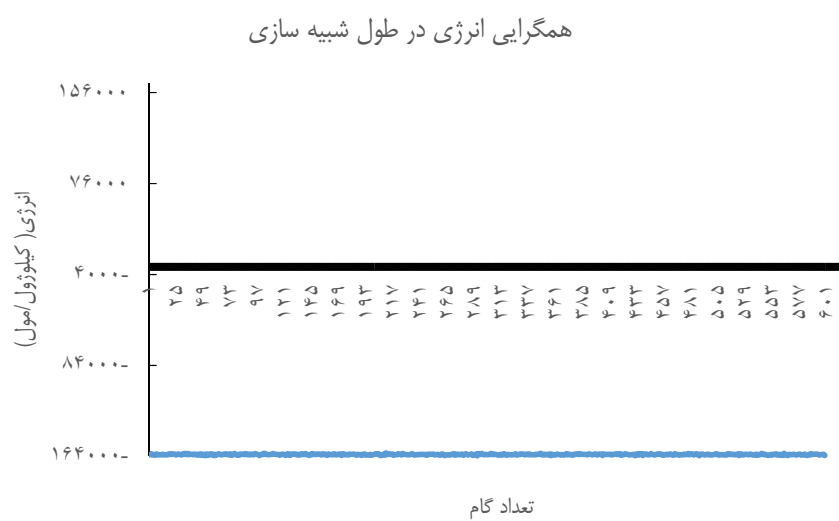
شبیه‌سازی دینامیک مولکولی با نرم افزار گرومکس (۲۲) نسخه ۴.۵.۴ انجام گرفت. میدان نیروی استفاده شده جهت شبیه‌سازی، GROMOS 53a6 (۳۳) است. به منظور انجام شبیه‌سازی سیستم، جعبه مربعی ایجاد شد تا تعداد مولکولهای آبی که به آن اضافه می‌شود، تعیین شود. افزودن تعداد آستروپسین A به سیستم با استفاده از دستورهای نرم افزار گرومکس انجام گردید. در همه شبیه‌سازیها، دما و فشار با استفاده از الگوریتم برندسن (۲۱) به ترتیب در ۳۱۰

گردید که بعنوان نمونه سیستم پاکلی‌تاکسول + یک آستروپسین A در نمودارهای ۱ تا ۳ نشان داده شده است.

فشار، دما و انرژی سیستمهای مورد مطالعه پرداخته و همگرایی تمامی سیستمهای در طول شبیه‌سازی مشاهده شده است.

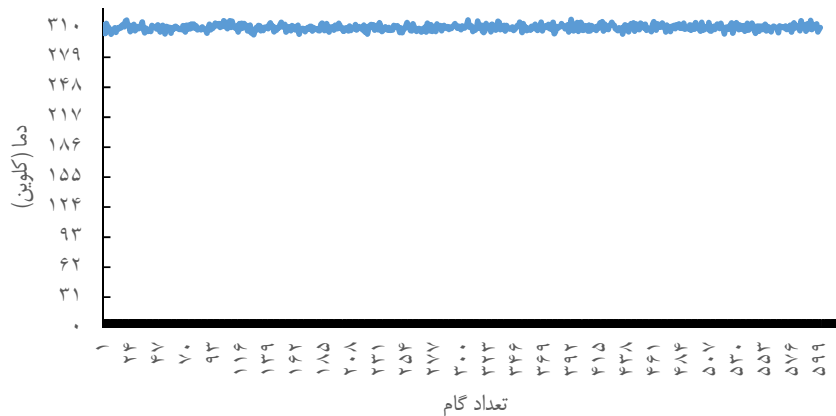


نمودار ۱- همگرایی فشار در طول شبیه‌سازی در سیستم شامل پاکلی‌تاکسول+یک آستروپسین A



نمودار ۲- همگرایی انرژی طول شبیه‌سازی در سیستم شامل پاکلی‌تاکسول+یک آستروپسین A

همگرایی دما در طول شبیه‌سازی



نمودار ۳- همگرایی دما در طول شبیه‌سازی در سیستم شامل پاکلی‌تаксول+یک آستروپسین A

(۱۲) تبدیل شد که شامل اطلاعات شعاع اتمی و بار است. با نرم‌افزار PYMOL (۲۷) سطح مولکولی کمپلکسها مشاهده گردید. روش محاسبه دینامیک مولکولی با معادله پواسون-بولتزمن (۳۶) برای محاسبه انرژی آزاد اتصال به کار گرفته شد. انرژی آزاد اتصال به صورت زیر محاسبه می‌شود:

$$\Delta G_{\text{bind}} = \Delta G_{\text{complex}} - (\Delta G_{\text{protein}} - \Delta G_{\text{drug}}) \quad (1)$$

میدان نیروی CHARMM استفاده گردید و ثابت حل-شونده و حلال به ترتیب ۲ و ۷۸/۵۴ استفاده شد (۳۵). معادله زیر برای محاسبه انرژی آزاد حلال پوشی به کار گرفته شد:

$$\Delta G_{\text{solv}} = G_{\text{el}} - G_{\text{vacuum}} \quad (2)$$

انرژی آزاد حلال پوشی در خلاصه شعاع اتمی و در محیط حلال با ثابت دی الکتریک ۱ و (۳۱) و (۳۴). برای محاسبه انرژی آزاد الکترواستاتیک نیز از روش محاسبه دینامیک مولکولی با معادله پواسون-بولتزمن استفاده گردید.

خلاصه شبیه‌سازی در جدول ۱ گردآوری شده است.

جدول ۱- خلاصه شبیه‌سازی دینامیک مولکولی

تعداد مولکول حلال	تعداد مولکول پاکلی‌تаксول	تعداد مولکول آستروپسین	تعداد مولکول A
۱	۰	۰	۱۳۸۳
۰	۱	۱	۶۲۴۲
۰	۲	۲	۴۸۷۲
۰	۳	۳	۴۷۰۹
۰	۴	۴	۳۷۶۹
۰	۵	۵	۳۴۹۰
۱	۱	۱	۶۲۲۳
۱	۲	۲	۴۸۳۳
۱	۳	۳	۴۴۱۴
۱	۴	۴	۳۷۱۴
۱	۵	۵	۳۴۲۸

محاسبات انرژی آزاد حلال پوشی و اتصال: به منظور محاسبه انرژی آزاد حلال پوشی و انرژی آزاد اتصال لیگند (پاکلی‌تаксول) و پروتئینها (آستروپسین A)، ساختار کمپلکس آنها، پروتئین و دارو در آخرین مرحله شبیه‌سازی با فرمت pdb (۱۹) ذخیره شد. سپس با استفاده از نرم‌افزار AUTODOCK PQR نسخه ۴.۰.۲ (۱۷) فایل pdb به فایل

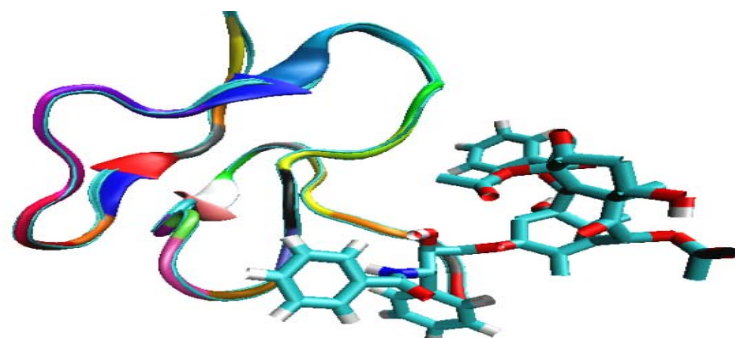
نتایج و بحث

و سایر روش‌های محاسباتی، طراحی دارو سریع‌تر و با درصد خطای کمتری می‌تواند انجام پذیرد (۲).

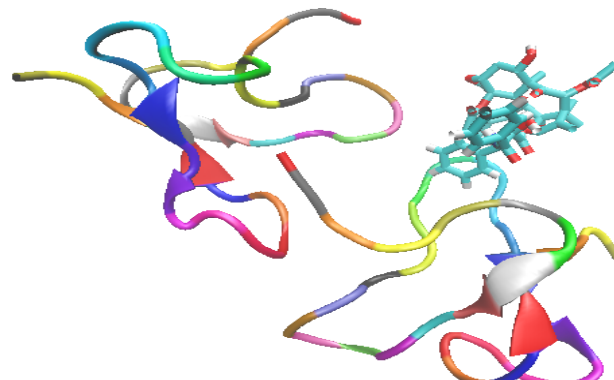
شبیه‌سازی دینامیک مولکولی کمپلکس‌های لیگند-نانوذرات پروتئین در ۵۰ نانوثانیه انجام یافت. تصاویر مرحله نهایی سیستمهای پاکلی‌تاکسل-آستروپسین A-آب در شکل ۳ الف تا ۳ ث نشان داده شده است. در تصاویر مربوطه مولکولهای آب نشان داده نشده است.

برخی از داروهای ضد سرطانی مانند پاکلی‌تاکسل، باعث مهار فرآیند پلیمریزاسیون میکروتوبول‌ها می‌شوند. به منظور طراحی و توسعه چنین داروهای ضد سرطانی، این ترکیبات توجه بسیاری از محققین را به خود جلب کرده است (۱). امروزه با استفاده از شبیه‌سازی دینامیک مولکولی

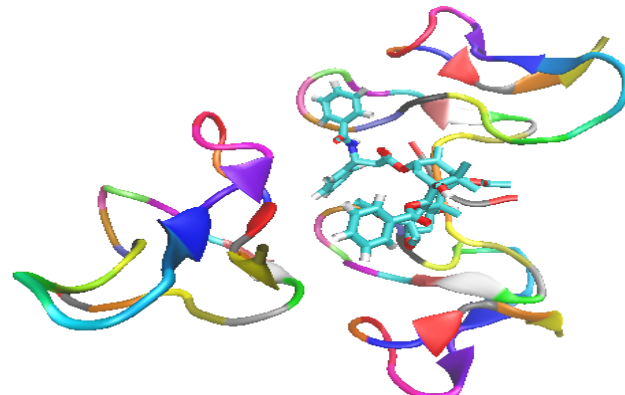
(الف)



(ب)



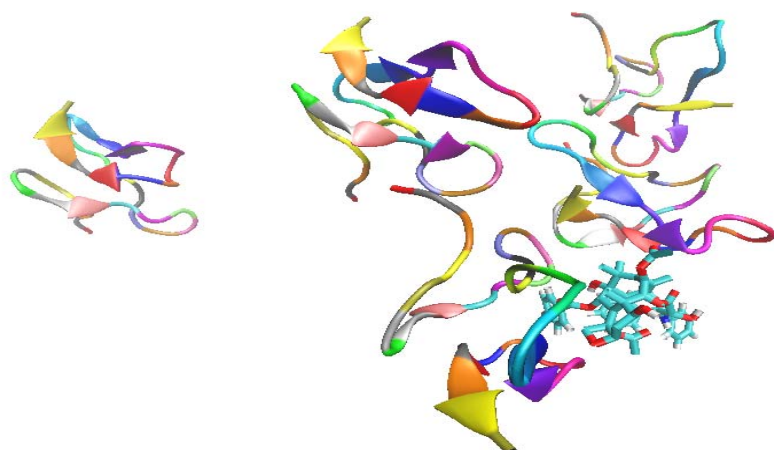
(پ)



(ت)



(ث)



شکل ۳- تصاویر شبیه‌سازی دینامیک مولکولی بعد از ۵۰ نانوثانیه در سیستمهای شامل پاکلی تاکسول با آستروپسین A در آب، (الف) سیستم شامل یک آستروپسین A، (ب) سیستم شامل دو آستروپسین A، (پ) سیستم شامل سه آستروپسین A، (ت) سیستم شامل چهار آستروپسین A و (ث) سیستم شامل پنج آستروپسین A.

در نمودار ۴ مشاهده می‌شود که شعاع چرخش بر حسب تعداد پروتئین به شکل خطی افزایش می‌یابد.

جذر میانگین مریع نوسانات اتمی پاکلی تاکسول در سیستمهای شبیه‌سازی شده شامل آستروپسین A - پاکلی- تاکسول در ۱۰ نانوثانیه نهایی در جدول ۳ گنجانده شده است.

مقادیر شعاع چرخش آستروپسین A در حضور و عدم حضور پاکلی تاکسول در جدول ۲ نشان داده است.

شعاع چرخش پروتئین، با حضور و عدم حضور پاکلی- تاکسول، افزایش یافته است. جدول ۲ نشان می‌دهد با زیاد کردن تعداد مولکولهای پروتئین مقدار شعاع چرخش افزایش می‌یابد ولی نرخ این افزایش به تدریج کم می‌شود که بیانگر جمع شدن مولکولهای پروتئین در اطراف پاکلی- تاکسول می‌باشد.

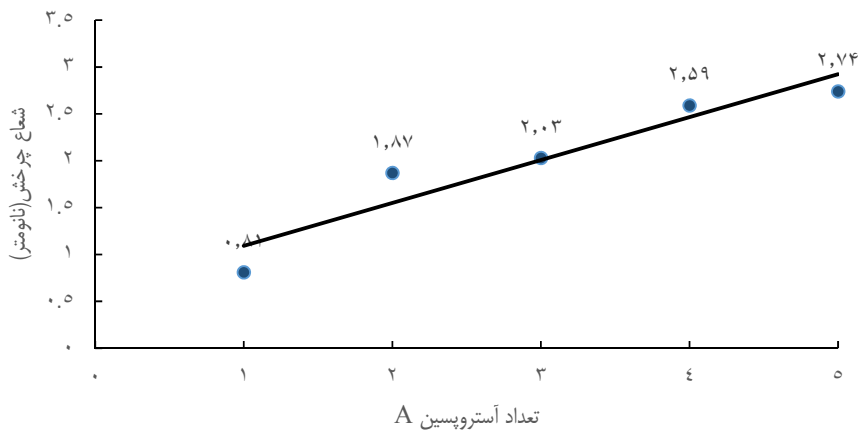
جدول ۳- میانگین مقادیر جذر میانگین مریع نوسانات اتمی پاکلی- تاکسول در سیستمهای شبیه‌سازی شده مختلف شامل پاکلی تاکسل- آستروپسین A.

تعداد آستروپسین A	میانگین مقدار جذر میانگین مریع نوسانات اتمی پاکلی- تاکسول (نانومتر)
۱	۰,۰۹۳
۲	۰,۰۸۹
۳	۰,۰۸۵
۴	۰,۰۸۰
۵	۰,۰۷۸

جدول ۲- شعاع چرخش آستروپسین A در حضور و عدم حضور پاکلی تاکسول در سیستمهای مختلف در ۱۰ نانوثانیه نهایی.

سیستم‌ها	شعاع چرخش (نانومتر)
یک آستروپسین A	۰,۷۹
یک آستروپسین A-پاکلی تاکسول	۰,۸۱
دو آستروپسین A	۱,۲۹
دو آستروپسین A-پاکلی تاکسول	۱,۸۷
سه آستروپسین A	۱,۹۱
سه آستروپسین A-پاکلی تاکسول	۲,۰۳
چهار آستروپسین A	۲,۴۳
چهار آستروپسین A-پاکلی تاکسول	۲,۵۹
پنج آستروپسین A	۲,۶۳
پنج آستروپسین A-پاکلی تاکسل	۲,۷۴

شعاع چرخش آستروپسین A



نمودار ۴- شعاع چرخش آستروپسین A به ازای افزایش تعداد پروتئینها در سیستمهای مختلف پاکلی تاکسول+آستروپسین A در ۱۰ نانوثانیه نهایی.

شده است. با توجه به نمودار ۵، می‌توان نتیجه گرفت با افزایش تعداد نانوذرات پروتئینی، حداقل فواصل بین پاکلی تاکسول و آستروپسین A کاهش یافته است و با کاهش فواصل بین دارو و پروتئین برهمکنش دارو با پروتئین افزایش یافته و به دلیل آرایش پاکلی تاکسول و آستروپسین A، دارو توسط نانوذرات پروتئینی احاطه شده است.

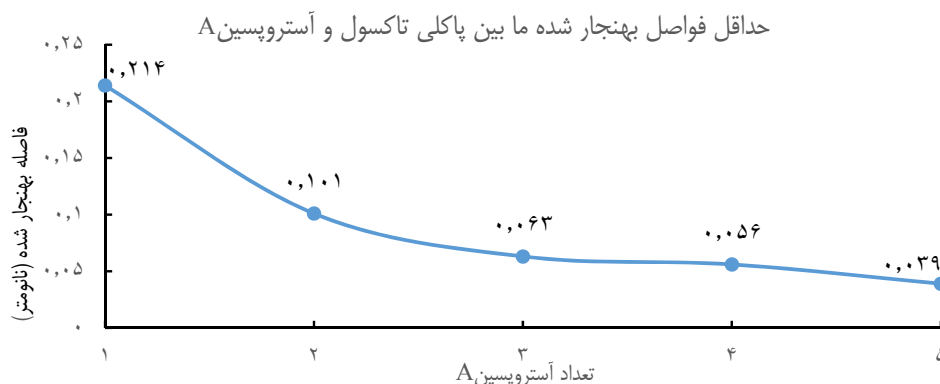
جدول نشان می‌دهد که با افزایش تعداد آستروپسین A، از میزان نوسانات پاکلی تاکسول کاسته می‌شود. زیرا با افزایش تعداد پروتئین، آستروپسین A برای پاکلی تاکسول ممانتع فضایی ایجاد کرده و احتمال احاطه شدن دارو توسط پروتئین افزایش یافته و از میزان نوسانات دارو کاسته شده است.

مقادیر حداقل فواصل ما بین پاکلی تاکسول و آستروپسین A در ۱۰ نانوثانیه نهایی شبیه‌سازی در نمودار ۵ نشان داده

داده‌اند، نشان داده شده است، ولی تعداد پیوندهای هیدروژنی داده شده در تمامی اسید‌آمینه‌ها به یک میزان نبوده و در برخی تنها در لحظات بسیار کمی از زمان شیبه‌سازی دیده شد ولی تعدادی از اسید آمینه‌ها نیز در تمام مسیر، پس از حصول تعادل، پیوند هیدروژنی تشکیل داده‌اند.

به منظور تعیین پایداری پیوند هیدروژنی مابین پاکلی-تاكسول و هریک از اسید‌آمینه‌های آسترودپسین A، آنالیز پیوند هیدروژنی انجام یافت. با توجه به آنالیز، قدرت برهمکنش‌ها در طول شبیه‌سازی متفاوت بود. پیوند هیدروژنی مابین اسید آمینه‌های متفاوت مولکول بروتین و دارو در طول شبیه‌سازی در جدول ۴ نشان داده شده است.

با توجه به جدول فوق اسید‌آمینه‌های مختلف آسترودپسین A که با پاکلی تاكسول در مسیر شبیه‌سازی پیوند هیدروژنی



نمودار ۵- حداقل فواصل بهنجار شده ما بین پاکلی تاكسول و آسترودپسین A

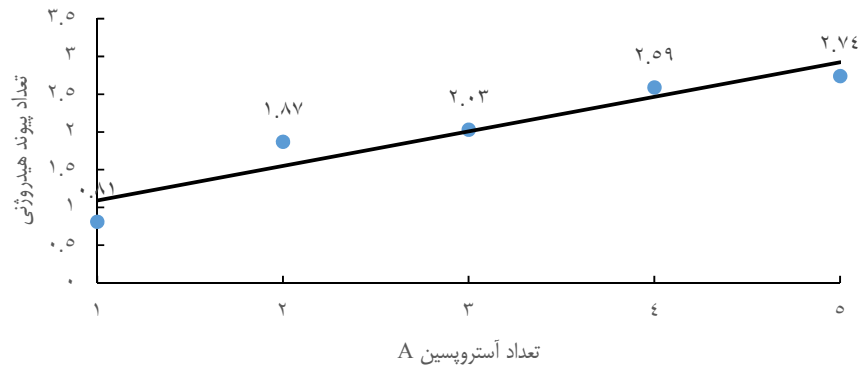
جدول ۴- اسید‌آمینه‌های مختلف آسترودپسین A در سیستمهای مختلف که با پاکلی تاكسول پیوند هیدروژنی پیوند داده‌اند.

اسید‌آمینه‌های پیوند داده	میانگین پیوند هیدروژنی در ۱۰ نانوثانیه نهایی	سیستم مورد بررسی
پیروگلوتامیک اسید، گلایسین، والین، فنیل آلانین ۱۲	۰.۹۶۴	پاکلی تاكسول+یک آسترودپسین A
گلوتامیک اسید، گلوتامین، لوسین ۲۱، لوسین ۲۳، تیروزین ۳۶	۱.۰۸	پاکلی تاكسول+دو آسترودپسین A
سیستئین، گلوتامیک اسید، سرین ۹، فنیل آلانین ۱۴، تیروزین ۱۵، تیروزین ۳۳، تیروزین ۳۵	۲.۶۶۶	پاکلی تاكسول+سه آسترودپسین A
پیروگلوتامیک اسید، گلایسین، سیستئین ۳، گلوتامین، فنیل آلانین ۱۳، آلانین ۱۴، تیروزین ۱۵، تیروزین ۲۱، پرولین ۱۷، لوسین ۲۹	۳.۷۰۶	پاکلی تاكسول+چهار آسترودپسین A
پیروگلوتامیک اسید، سیستئین ۱۷، گلایسین ۲۰، تیروزین ۲۴، سیستئین ۲۵، آسپارژینین ۲۹	۴.۲۴۸	پاکلی تاكسول+پنج آسترودپسین A

داده شده است. در نمودار ۶ مشاهده می‌شود که تعداد پیوند هیدروژنی بین پاکلی‌تاكسول و پروتئین به ازای هر پروتئین تقریباً ثابت است.

در نمودار ۶، میانگین تعداد پیوند هیدروژنی مابین دارو و مولکولهای پروتئین بر حسب افزایش تعداد آسترپسین A در سیستمهای مختلف شبیه‌سازی شده دارو+پروتئین نشان داده شده است.

میانگین تعداد پیوند هیدروژنی ما بین دارو با پروتئین به ازای افزایش تعداد پروتئین ها

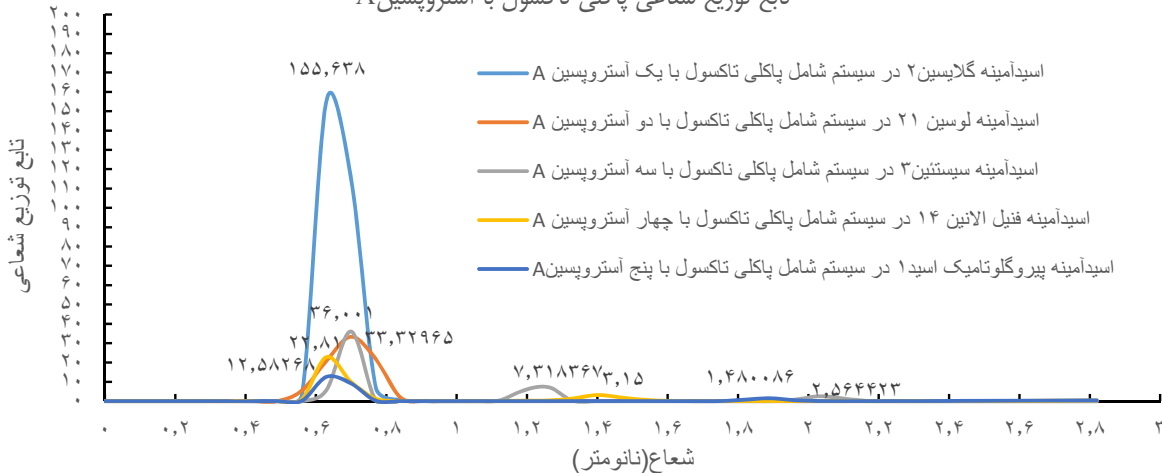


نمودار ۶- تعداد میانگین پیوند هیدروژنی مابین پاکلی‌تاكسول و آسترپسین A، به ازای افزایش تعداد پروتئینها در سیستمهای مختلف در 10 نانومتر نهایی.

محل قله تیز آن، به وجود برهمکنش میان پاکلی‌تاكسول با تاكسول در اطراف زنجیر جانبی اسیدآمینه‌ها در 10 نانومتر امید آمینه‌های مربوطه می‌توان پی برد.

با توجه به تجزیه و تحلیل تابع توزیع شعاعی پاکلی- تاكسول در سیستم شامل پاکلی‌تاكسول با یک آسترپسین A اسیدآمینه گلایسین ۲ در 10 نانومتر نهایی شیوه‌سازی که در نمودار ۷ نشان داده شده است و

تابع توزیع شعاعی پاکلی‌تاكسول با آسترپسین A



نمودار ۷- تابع توزیع شعاعی اسیدآمینه‌هایی که با پاکلی‌تاكسول برهمکنش داده‌اند.

برهمکنش الکترواستاتیکی بار- بار می‌باشد. همچنین این شکل نشان می‌دهد که در سیستمهای پاکلی‌تاكسول +

پیکهای نشان داده شده در شکل نشانگر وجود برهمکنش مابین مولکولهای دارو و نانوذرات پروتئینی از نوع

به منظور تعیین برهمکنش پاکلی‌تاكسول و آستروپسین A، انرژی اتصال کمپلکس پاکلی‌تاكسول + پروتئین (ΔG_b)، انرژی آزاد حلال‌پوشی پاکلی‌تاكسول با پروتئین (ΔG_s) و انرژی الکترواستاتیک (E) برای سیستمهای مورد مطالعه، محاسبه گردید. نتایج در جدول ۵ نشان داده است.

آستروپسین A، محل اولین قله تابع توزیع شعاعی در فواصل ۰,۵ تا ۹ نانومتر می‌باشد که نشانگر وجود برهمکنش کولنی پاکلی‌تاكسول با آستروپسین A در این فواصل است.

جدول ۵- مقادیر ΔG_s , ΔG_b و E در سیستمهای مختلف مورد مطالعه.

سیستم‌ها	E (kJ/mol)	ΔG_s (kJ/mol)	ΔG_b (kJ/mol)
پاکلی‌تاكسل	۰	-۰,۰۱۳	-
یک آستروپسین A	-۱۳۵۴,۶۷	-۲۹۰۲,۱۶	-
یک آستروپسین A+پاکلی‌تاكسول	-۱۷۹۴,۶۵	-۳۱۴۸,۲۳	-۱,۱۴
دو آستروپسین A+پاکلی‌تاكسول	-۲۹۸۱,۷۵	-۷۱۴۴,۸۴	-۱,۳۶
سه آستروپسین A+پاکلی‌تاكسول	-۷۰۲۵,۰۵	-۱۱۹۰۰,۴۶	-۱,۶۴
چهار آستروپسین A+پاکلی‌تاكسول	-۱۱۹۵۴,۷۵	-۱۴۷۳۳,۵۲	-۱,۹۷
پنج آستروپسین A+پاکلی‌تاكسول	-۱۹۱۲۸,۷۴	-۲۰۱۴۵,۶۳	-۲,۰۵

پاکلی‌تاكسول + آستروپسین A، انرژی آزاد اتصال منفی تر می‌شود. بنابراین بر میزان برهمکنش مابین پروتئینها و پاکلی‌تاكسول افزوده می‌شود.

مقدار انرژی الکترواستاتیک کل در سیستم دارای آستروپسین A در مقایسه با سیستم حاوی پاکلی‌تاكسول و آستروپسین A بیشتر است که نشانگر وجود برهمکنش الکترواستاتیک مابین دارو و پروتئینها می‌باشد.

با دقت در نمودارهای ۸ و ۹ که نشان‌دهنده میزان انرژی آزاد حلال‌پوشی، اتصال و الکترواستاتیک به ازای هر پروتئین می‌باشد، می‌توان دریافت که این کمیتها با تعداد پروتئین رفتار خطی دارند.

نتیجه‌گیری

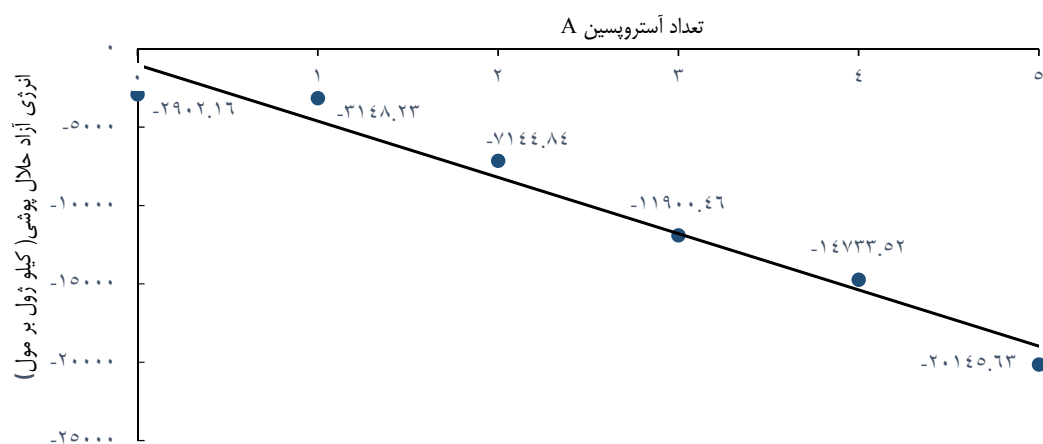
در این کار تحقیقاتی، سیستم پاکلی‌تاكسول در حضور پروتئین آستروپسین A و همچنین بدون حضور آن با

اطلاعات این جدول نشان می‌دهد که پاکلی‌تاكسل انرژی آزاد حلال‌پوشی کمی دارد که ناشی از حلالیت پایین آن در آب است. آستروپسین A دارای بیشترین انرژی آزاد حلال‌پوشی می‌باشد. مقادیر منفی و بزرگ برای ΔG_s ، به دلیل حلالیت بالای آستروپسین A در آب است. با اضافه کردن هر چه بیشتر آستروپسین A به پاکلی‌تاكسول، انرژی آزاد حلال‌پوشی پاکلی‌تاكسول منفی تر می‌شود. زیرا اتصال پاکلی‌تاكسول به آستروپسین A از سمت آبگریز پاکلی‌تاكسل به سمت آبگریز آستروپسین A اتفاق می‌افتد و بنابراین قسمتهای آبدوست پاکلی‌تاكسول و آستروپسین A در نزدیکی مولکولهای آب قرار گرفته و درنتیجه بر میزان حلالیت پاکلی‌تاكسول افزوده می‌شود.

مقادیر انرژی آزاد اتصال نشانگر قدرت برهمکنش مابین پاکلی‌تاكسول و آستروپسین A می‌باشد. با توجه به جدول ۵، با اضافه کردن تعداد آستروپسین A در سیستمهای

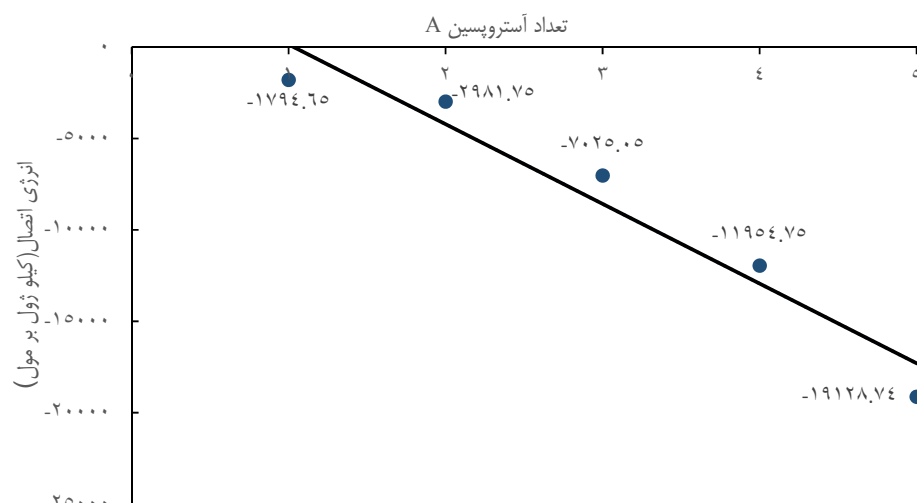
استفاده از فنون شبیه‌سازی دینامیک مولکولی مورد مطالعه قرار گرفت.

انرژی آزاد حلال پوشی پاکلی تاکسول با پروتئین



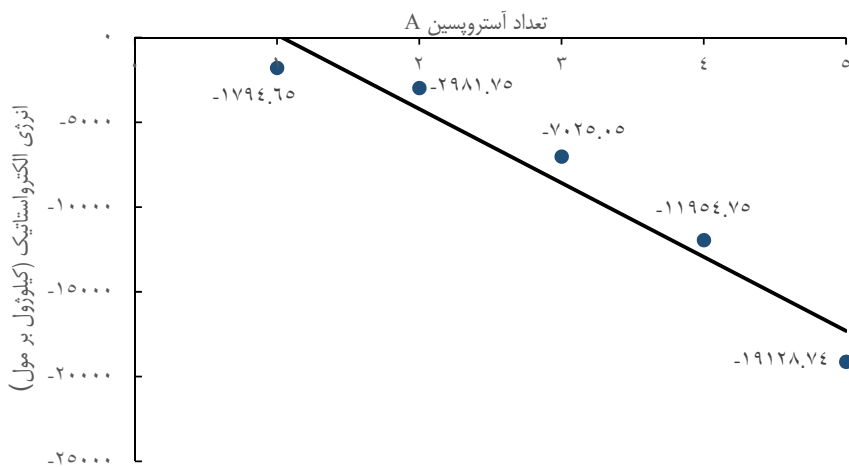
نمودار ۸- انرژی آزاد حلال پوشی پاکلی تاکسول + آستروفیسین A به ازای افزایش تعداد پروتئینها.

انرژی اتصال پاکلی تاکسول با آستروفیسین A



نمودار ۹- انرژی اتصال پاکلی تاکسول + آستروفیسین A به ازای افزایش تعداد پروتئینها.

انرژی الکترواستاتیک پاکلی تاکسول با پروتئین



نمودار ۱۰- انرژی الکترواستاتیک پاکلی تاکسول+آستروفین A به ازای افزایش تعداد پروتئینها.

پاکلی تاکسول+آستروفین A و موقعیت تابع توزیع شعاعی به دست آمده و نشانگر افزایش نسبی میزان برهمکنش پاکلی تاکسول با آستروفین A است. بنابراین آستروفین A می‌تواند یک عامل اصلاح‌کننده در کاربرد پاکلی تاکسول باشد.

قدرتانی

این کار تحقیقاتی توسط دانشگاه شهید مدنی آذربایجان حمایت شده است.

نتایج به دست آمده از آنالیز ساختاری سیستمهای نشان می‌دهند پروتئینهای افروده شده به سیستم پاکلی تاکسول+آب در اطراف دارو تجمع می‌یابند. برهمکنش میان پاکلی-تاکسول و پروتئین به صورت انرژی اتصال با استفاده از روش مکانیک مولکولی با معادله پواسون-بولتزمن تعیین گردید. مقادیر منفی و نسبتاً بزرگ انرژی اتصال پاکلی-تاکسول-مولکول پروتئین نشان می‌دهد که وجود آستروفین A سبب افزایش حلالت پاکلی تاکسول در آب شده است. برخی پارامترهای ساختاری شامل تعداد پیوند هیدروژنی پاکلی تاکسول+آستروفین A، فاصله میانگین

منابع

- آرایپور، حسن. جواهری مقدم، مصطفی. دهنوخیجی، علی اکبر (۱۳۹۴). طراحی ترکیبات کرومینی جدید با فعالیت ضد سرطانی و بررسی چگونگی میانکش آنها با توبولین به روش داکینگ مولکولی. مجله پژوهش‌های سلولی و مولکولی. ۲۸(۲): ۱۹۰-۱۷۸.
- اخوان سپهی، عباس. حسینی، فرزانه. داوری، کامیز. میرزاچی، ساکو. نوروزی، جمیله (۱۳۹۸). کشف مهارکننده علیه بتالاکتاماز.
- Berendsen HJC., van der Spoel D., van Drunen R.,(1995), Gromacs: A message -passing parallel molecular dynamics implementation,
- Becke AD., (2014), Perspective: Fifty years of density-functional theory in chemical physics, J chem phys, 140(18) : 18A301-18A3018.
- رزمی منش، فریبا. رضایی مارنانی، حسین. صدیقیان، غلامحسین (۱۳۹۵). بررسی نفوذ داروهای آسپیرین و ایوبروفن در غشاء دوالیه لبیدی به کمک شیوه سازی دینامیک مولکولی. مجله پژوهش‌های سلولی و مولکولی. ۳۱(۲): ۳۱۷-۳۲۸.
- رزمی منش، فریبا. رضایی مارنانی، حسین. صدیقیان، غلامحسین (۱۳۹۵). بررسی نفوذ داروهای آسپیرین و ایوبروفن در غشاء دوالیه لبیدی به کمک شیوه سازی دینامیک مولکولی. مجله پژوهش‌های سلولی و مولکولی. ۳۱(۲): ۳۱۷-۳۲۸.

- Computer physics communications, **91**(1-3): 43-56.
6. Burke K., J.(2012), Perspective on density functional theory, *chem. Phys.*, **136** (15): 150901-150909.
 7. Chi S., Ge M., Jin Y., Shi Q., Wang S., Xu S., Zhang X.,(2011), Molecular dynamics simulation and density functional theory studies on the active pocket for the binding of paclitaxel to tubulin, *Journal of Molecular Modeling*, **18**(1): 377-391.
 8. Cobon GS., Flemming CL., Haber M., Ivery MT., Kavallaris M., Liu M., Norris MD., Verrills NM., (2003), Microtubule Alterations and MutationsInduced by Desoxyepothilone B:Implications for Drug-Target Interactions, *Chemistry & Biology*, **10**(7) : 597-607.
 9. Cresteil T., Monsarrat B., Dubois J., Sonnier M., Alvinerie P., Gueritte F., (2002), Regioselective metabolism of taxoids by human cyp3A4 and 2C8: structure-a ctivity relationship Drug Metab Dispos, **30** (2002) : 438-445.
 10. Cucinotto I., Fiorillo L., Gualtieri S., Arbitrio M., Ciliberto D., Staropoli N., Grimaldi A., et al, .(2013) Nanoparticle albumin bound paclitaxel in the treatment of human cancer: Nanodelivery reaches prime-time?,*Journal of Drug delivery*, **2013** (2013): 1-10.
 11. Deserno M., Holm C., (1998), How to mesh up Ewald sums. I. A theoretical and numerical comparisonof various particle mesh routines *J chem phys*, **109**(18) : 7678-7693.
 12. Dolinsky TJ., Nielsen JE., McCammon JA., Baker NA., (2004), PDB2PQR: an automated pipeline for the setup of Poisson-Boltzmann electrostatics calculations, *Nucleic Acids Research*, **32**: W665-W667.
 13. Downing KH., Noales E., Wolf SG., (1998), Structure of the alpha beta tubulin dimer by electron crystallography, *Nature*, **391**(6663) : 199-203.
 14. Edberg R., Evans DJ., Morriss GP., (1986), Constrained molecular dynamics: Simulations of liquid alkanes with a new algorithm, *J chem phys*, **84**(12): 6933-6939.
 15. Feng SS., Mu L., Win KY., Huang G.,(2004), Nanoparticles of biodegradable polymers for clinical administration of paclitaxel, *Curr med chem*, **11**(4): 413-424.
 16. Frense D., (2007) ,Taxanes: perspectives for biotechnological production, *Appl Microbiol Biotechnol*, **73** (6): 1233-1240.
 17. Ghosh B., Satyshur KA., Czajkowski C., (2013), Propofol Binding to the Resting State of the *Gloeobacter violaceus* Ligand-gated Ion Channel (GLIC) Induces Structural Changes in the Inter- and Intrasubunit Transmembrane Domain (TMD) Cavities, *J Biol Chem*, **288** (24):17420-17431.
 18. Giannaakakou P., O Brate Aurora, Wang Y., Zhou W., (2005), Resistance to Microtubule-Stabilizing Drugs Involves Two Events β -Tubulin Mutation in One Allele Followed by Loss of the Second Allele, *Cell cycle*, **4**(12): 1847-1853.
 19. Hamelryck T., Manderick B., (2003), PDB file parser and structure class implemented in Python Bioinformatics, **19**(17) : 2308-2310.
 20. Hawkins MJ., Soon-Shiong P., Desai N., (2008), Protein nanoparticles as drug carriers in clinical medicine , *Advanced drug delivery Reviewes*, **60**(8): 876-885.
 21. Ighaei Bonab M., Jahhanbin J., Rastkar Ebrahimpour A., Mehrnejad F.,(2015), Molecular interactions in the systems composed of curcumin, water and single-walled carbon nanotube: A molecular dynamics simulation study, *Journal of Computational and Theoretical Nanoscience*, **12**(9) : 2077-2083.
 22. Khadem- Maaref M., Mehrnejad F., Arzani Zonozi N., Ghahremanpour M.M.,(2012), Role of hydrophobic forces and backbone hydrogen bonding on helical stability of peptide encapsulated into single wall carbon nanotubes *Journal of Computational and Theoretical Nanoscience*, **9**(6): 783-788.
 23. Krishnan R., Binkley JS., Pople JA.,(1980), Self-consistent molecular orbital methods. XX. A basis set for correlated wave functions, *J. chem. Phys.*, **72**(1): 650-654.
 24. Lee J., Lee SC., Acharya G., Chang CJ., Park K., (2003), Hydrotropic Solubilization of Paclitaxel: Analysis of Chemical Structures for Hydrotropic Property, *Pharm Res*, **20** (7) :1022-1030.
 25. Li H., Bowling JJ., Fronczek FR., Hong J., Jabba SV.,et al.,(2013), Asteropsin A: An unusual cystine-crosslinked peptide from porifera enhances neuronal Ca^{2+} influx, *Biochim Biophys Acta*, **1830**(3) : 2591-2599.
 26. Li H., Su M., Hamann MT., Bowling JJ., Kim HS., Jung JH.,(2014), Solution Structure of a Sponge-Derived Cystine Knot Peptide and Its Notable Stability, *J Nat Prod*, **77**(2): 304-310.

27. Lill MA., Danielson ML.,(2011), Computer-aided drug design platform using pymol, *J Comput Aided Mol Des*, **25**(1): 13-19.
28. Ma P., Mumper RJ., (2013), Paclitaxel Nano-Delivery Systems: A Comprehensive Review, *J Nanomed Nanotechnol*, **4** (2): 1-35.
29. Malik S., Cusido RM., Mirjalili MH., Moyano E., Palazon J., Bonfill M, (2011), Production of the anticancer drug taxol in taxus baccata suspension cultures: A review, *Process Biochemistry*, **46**(1) :23-34.
30. Maniu D., Chis V., Toderas F., Astilean S., (2007), Density functional theory investigation of p-aminothiophenol molecules adsorbed on gold nanoparticles *Journal of optoelectronics and advanced materials*, **9**(3): 733-736.
31. Marenich AV., Cramer CJ., Truhlar DG.,(2009), Universal solvation model based on solute electron density and on a continuum model of the solvent defined by the bulk dielectric constant and atomic surface tensions, *The Journal of Physical Chemistry.B.*, **113**(18) : 6378-6396.
32. Natarjan K., Senapati S., (2012), Understanding the basis of drug resistance of the mutants of $\alpha\beta$ -Tubulin dimer via molecular dynamics simulations, *Plos One*, **7**(8): e42351.
33. Oostenbrink C., Soares TA., Van der vest NF., van Gunsteren WF.,(2005), Validation of the 53A6 GROMOS force field, *European Biophys J*, **34**(4) : 273-284.
34. Rocchia W., Alexov E., Honig B.,(2001), Extending the applicability of the nonlinear poisson-boltzmann equation: Multiple dielectric constants and multivalent ions, *The Journal of Physical Chemistry.B.*, **105**(28): 6507-6514.
35. Vanommeslaeghe K., Hatcher E., Archarya C., Kundu S., et al.,(2009), CHARMM General Force Field (CGenFF): A force field for drug-like molecules compatible with the CHARMM all-atom additive biological force fields *J Comput Chem*, **31**(4) : 671-690.
36. Wang J., Morin P., Wang W., Kollman PA.,(2001), Use of MM-PBSA in reproducing the binding free energies to HIV-1 RT of TIBO derivatives and predicting the binding mode to HIV-1 RT of Efavirenz by docking and MM-PBSA, *J Am Chem Soc*, **123**(23): 5221-5230.
37. Zhang Z., Mei L , Feng SS., (2013), Paclitaxel drug delivery systems, *Expert Opin Drug deliv*, **10**(3) : 325-340.

Study of the interactions between asteropsin_A and paclitaxel by the use of molecular dynamics simulation and MM-PBSA

Jahanbin Sardroodi J.^{1,2}, Dabbagh Hoseini Poor M.^{1,2}, Ighaei Bonab M.^{1,2} and Rastkar Ebrahimzadeh A.R.^{1,3}

¹Molecular Simulation Lab, Faculty of Basic Sciences, Azarbaijan Shahid Madani University, Tabriz, I.R. of Iran

²Dept. of Chemistry, Faculty of Basic Sciences, Azarbaijan Shahid Madani University, Tabriz, I.R. of Iran

³Dept. of Physics, Faculty of Basic Sciences, Azarbaijan Shahid Madani University, Tabriz, I.R. of Iran

Abstract

In this paper, the interactions between paclitaxel molecule and asteropsin A protein in the aqueous media have been studied by molecular dynamics simulation and MM-PBSA method. The binding energies between paclitaxel and asteropsin A have been evaluated by the help of MM-PBSA in these systems after equilibration and simulation. The main goal of this study is investigated the active sites to create effective interactions between drug nanoparticles and proteins and also to form a framework for drug by proteins, for this purpose used one, two, three, four and five asteropsin A. The results of molecular dynamics simulations, such as radius of gyration, radial distribution functions and hydrogen bonding, have been discussed. The results were analyzed by the comparing their values in the systems with and without Paclitaxel. The results show that by increasing the number of asteropsin A in the systems, the solubility of paclitaxel in water increases. Also, the results show that the residues Gly2, Leu21, Cys3, Phe14 and PGa1 have maximum interactions with paclitaxel in the systems containing one, two, three, four and five asteropsin A proteins, respectively. The results represent that increasing the number of asteropsin A, lead to increasing the binding affinity of drug to proteins.

Keywords: Molecular Dynamics Simulation, Paclitaxel, Asteropsin_A, Interaction, MM-APBS.